

船舶自動操舵系의 最適調整에 関하여

李 哲 榮

On the Optimum Adjustment of the Automatic Steering System of the Ship

Lee Cheolyeong

目次	
1. 引言	4. Simulator による 調整の実験結果
2. 船舶自動操舵系の構成要素	5. 結論
3. 調整の方法	

Abstract

This paper deals with the optimum adjustment of the automatic steering system to make the system stable and get the maximum efficiency in the auto-pilotage of ships.

Consequently, the problem refers to the selection of the values of the auto-pilot parameters, and the values vary with the conditions of ships concerned, that is, the maneuvering indices.

In general, ships' officers have tried to set these parameters by their subjective judgments based on the track pattern of the course recorder.

Since it is rude and vague to obtain the optimum values by such a method, it is necessary to determine these by a more theoretical method.

In this paper, by means of making the use of the frequency response method, the author obtained the optimum values for several typical values of the maneuvering indices of the ships in service, and disseminated the property of the system stability by adopting a simulator.

The use and method of computer for the calculation process is also suggested here to make the tedious calculation of this method practical on board for the introduction of electronic computer on merchant ships in the future.

Since this paper treated the ships under still water and air, the nonlinear factors of the auto-pilot system are not covered.

1. 序論

引論文は題目に「船舶自動操舵系의 最適調整에 関する」である。
自動操舵装置は 1920 年代に Sperry 社が自動操舵装置を商品化して以来、世界の船舶業界で広く普及して来た。船舶の自動操舵装置は、操舵装置と並んで、船舶の操舵系の主要な部品である。また、操舵装置の主要な部品である。

1922 年に minorsky は操舵装置の自動操舵装置の問題を、當時の操舵装置の走行方法と比例制御方式との代替的成分・比例制御方式との必要性を對比した。

1949 年に Schiff は船體運動方程式と比例制御方式との対比を行った。比例制御方式は、比例制御方式と比較して、航行の安定性が高くなる。Ryall の研究理論は、操舵装置の自動操舵装置の船體運動方程式の解を示す。

この研究は、操舵装置の自動操舵装置の問題を、操舵装置の問題、航行の安定性の問題等の問題

題를 取扱, 檢討하고 있다.

1968년에 英國의 船長 Welpter⁽⁶⁾는 實船舶의 運航에 있어서 自動操舵機의 調整係數를 理論적으로 調整할 必要가 있음을 力說한 바가 있으나 이 問題에 對한 實質的인 研究가 거의 없었으므로 이 論文에서는 이러한 問題를 取扱하여 自動操舵機의 比例·微分調整係數를 理論적으로 調整하는 方法을 研究하고 그 結果를 實船에 應用하고자 한다.

船舶自動操舵系의 安定性은 船舶의 積貨狀態 및 自動操舵機의 比例·微分調整係數에 密接한 聯關性을 갖고 있다. 그러므로 주어진 積貨狀態下에서 船舶自動操舵系를 가장 安定한 狀態로 維持하게 하는 調整係數 即 最適值를 求해서 調整을 行할 必要가 있고, 同時に 効果的인 調整을 行하기 위해서는 現用自動操舵機의 設定된 調整係數의 可變範圍에 對해서 檢討를 行할 必要가 있다.

本論文에서, 船舶의 주어진 操縱性能指數에 對해 周波數應容法을 使用하여 Nichols 線圖 또는 計算機로 最適值를 理論적으로 求하고 最適值가 存在하는 範圍는 各船舶의 特性에 따라 다르다는 事實을 調查함으로써 現用自動操舵機의 調整係數의 調整範圍에 對한 檢討를 行했으며 또한 船舶自動操舵機의 最適值에 對한 系의 安定性與否를 Simulator로써 調査하였다.

自動操舵機에는 比例·微分調整 等의 線形要素와 天候調整, 舵角制限 等의 非線形要素가 包含되어 있으나 外亂이 없는 海上狀態下에서 小角度變針(10°以内)한다는 條件下에 船舶自動操舵系의 變針性을 取扱하므로 非線形要素는 辞루지 않는다.

2. 船舶自動操舵系의 傳達函數

<序　　言>

船舶이 自動操舵로 航海할 境遇에 船舶自動操舵系를 構成하는 要素로서는 自動操舵機, 操舵機, 舵 및 船舶, Compass 等이 있다.

이러한 各要素에 人力이 加해지면 要素들이 動作하여 出力이 나오게 되므로 傳達函數方式을 使用하여 船舶自動操舵系를 表示하기로 한다.

〈2·1〉 船舶의 傳達函數

操舵에 依한 船舶의 運動方程式은 다음의 線形微分方程式으로 表示할 수 있다. (1) (2) (6) (9) (11)

$$T_1 \cdot T_2 \cdot \frac{d^2\theta}{dt^2} + (T_1 + T_2) \cdot \frac{d\theta}{dt} + \theta = T_3 \cdot \delta + T_4 \cdot T_5 \cdot \frac{d\delta}{dt} \quad (2-1)$$

(2-1)式을 Laplace 變換하면 船舶의 傳達函數, $G_1(S)$ 는

$$G_1(S) = \frac{\theta(S)}{\Delta(S)} = \frac{T_5(1+T_3S)}{(1+T_1S)(1+T_2S)} \quad (2-2)$$

로 表示된다.

〈2·2〉 操舵機 및 Compass의 傳達函數

現在 使用되고 있는 操舵機는 大部分이 油壓式이며 自動操舵機 또는 Telemotor의 出力인 機械的 變位를 入力으로 하고 舵軸의 回轉角度를 出力으로 하는 位置 Servo 機構이다. 이 境遇에 依여서 操舵角速度와 이를 驅動하는 有効流量 사이에는 다음의 關係가 成立한다. (1) (4) (11)

$$\frac{d\delta}{dt} = \frac{1}{T_4} (\delta_e - \delta) \quad (2-3)$$

따라서 傳達函數, $G_2(S)$ 는

$$G_2(S) = \frac{\Delta(S)}{\Delta_e(S)} = \frac{1}{1+T_4S} \quad (2-4)$$

로 된다.

且 Compass에 나타나는 角, θ_i 은 旋回角速度 $\dot{\theta}$ 의 積分值 值, $\theta_i = \int_{t_0}^t \dot{\theta} dt$ 로써 表示되는 $G_i(S)$ 는
Compass의 傳達函數, $G_i(S)$ 는

$$G_i(S) = \frac{\theta_i(S)}{\dot{\theta}(S)} = \frac{1}{S} \quad \text{.....(2-5)}$$

이다.

〈2-3〉 自動操舵機의 傳達函數

最近의 自動操舵機에 採用되고 있는 比例・微分制御方式와 位相 rate generator를 使用한 方式
에서는 命令舵角, δ_a 는

$$\delta_a = T_p(\theta + T_d\dot{\theta}) \quad \text{.....(2-6)}$$

로 주어지고 Trolley motor를 使用한 方式에서는

$$\delta_a = T_p\theta + T_d\dot{\theta} \quad \text{.....(2-7)}$$

로 주어지며, (2-7)式은 變形하면

$$\delta_a = T_p \cdot (\theta + T_d/T_p \cdot \dot{\theta}) \quad \text{.....(2-8)}$$

로 되어 (2-6)式과 그 形態가 같아므로 (2-6)式을 그 代表되는 式으로 두고 傳達函數, $G_i(S)$ 를
求하면

$$G_i(S) = \frac{\delta_a(S)}{\dot{\theta}(S)} = T_p(1 + T_d \cdot S) \quad \text{.....(2-9)}$$

된다.

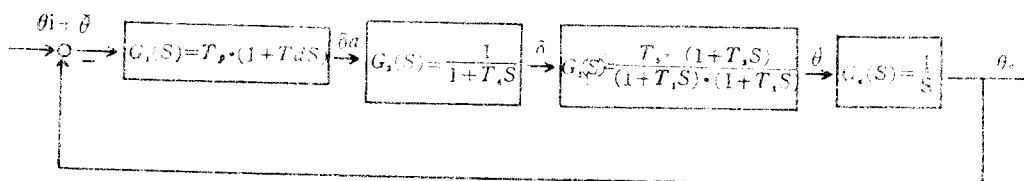
〈2-4〉 船舶自動操舵系의 block 線圖 및 傳達函數

船舶自動操舵系는 以上의 各要素量의 cascade結合을 하여 있으므로 式 (2-2), (2-4), (2-5),
(2-9)를 組合하여 船舶自動操舵系는 block 線圖로 圖示하면 第1圖와 같고 船舶自動操舵系의 Open
loop transfer function, $G(S)$ 는 式 (2-10)으로 되어

$$G(S) = \frac{T_p \cdot T_d \cdot (1 + T_d S) \cdot (1 + T_p S)}{S \cdot (1 + T_d S) \cdot (1 + T_p S) \cdot (1 + T_d S)} \quad \text{.....(2-10)}$$

Closed loop transfer function, $C(S)$ 는 式(2-11)로 될 데

$$C(S) = \frac{G(S)}{1 + G(S)} = \frac{T_p \cdot T_d \cdot (1 + T_d S) \cdot (1 + T_p S)}{S \cdot (1 + T_d S) \cdot (1 + T_p S) \cdot (1 + T_d S) + T_p \cdot T_d \cdot (1 + T_d S) \cdot (1 + T_p S)} \quad \text{.....(2-11)}$$



第1圖
船舶自動操舵系의 block 線圖

3. 最適值의 計算

〈序 言〉

船舶自動操舵系는 本의 (希望針路)를 주어울 때의 工動作狀態의 安定度는 航程에서 Course record-

er의 航跡을 調査함으로써 大略은 判別할 수 있으나 모든 比例·微分調整係數에 對해서 Course re-order의 航跡으로 일일히 그 安定度를 調査한다는 것은 容易한 일이 아니다. 따라서 理論的으로 安定度를 判別할 必要가 있으며 制御理論을 導入하면 所期의 成果를 거둘 수가 있다.

Huriwitz Stability Criterion을 使用하여 船舶自動操舵系의 安定度를 調査하고 周波數應答法의 一種인 M_P 值法을 利用하여 Nichols 線圖와 計算機에 依해 가장 安定度를 좋게하는 比例·微分調整係數值 即 最適值를 求하고자 한다.

〈3·1〉 安定度의 判別

制御理論에서는 制御系의 安定度를 判別하는 方法이 여려가지가 있으나 船舶自動操舵系의 情況에 있어서는 Huriwitz Stability Criterion을 使用하면 安定度를 좋게하는 比例·微分調整係數의 範圍를 直觀的으로 檢討할 수 있어서 便利하다.

各種船舶의 代表的인 例로서 第1表⁽¹⁾와 같은 操縱性能指數들을 가진 船舶들에 對하여 安定度를 判別하고자 한다.

第1表

船舶	積貨狀態	操縱性能指數			
		T_1	T_2	T_3	T_4
T_f	滿載油槽船	90	10	25	0.07
C_f	滿載貨物船	45	6	10	0.08
C_b	空船貨物船	12	2	5	0.06

$$\cdot T_1 \cdot T_2 \cdot T_3 \cdot T_4) S + T_5 \cdot T_p = 0 \quad \dots \dots \dots \quad (3-1)$$

로 되고 (3-1)式은 S 에 關한 4次方程式이므로 船舶自動操舵系의 安定度를 滿足하는 條件은 Huriwitz Stability Criterion에 依해 式 (3-2), (3-3), (3-4), (3-5)로 된다.

$$\Delta_4 = \begin{vmatrix} h_1 & h_2 & 0 & 0 \\ h_3 & h_4 & h_5 & 0 \\ 0 & h_1 & h_2 & 0 \\ 0 & h_3 & h_4 & h_5 \end{vmatrix} > 0 \quad \dots \dots \dots \quad (3-2)$$

$$\Delta_3 = \begin{vmatrix} h_1 & h_2 & 0 \\ h_3 & h_4 & h_5 \\ 0 & h_1 & h_2 \end{vmatrix} > 0 \quad \dots \dots \dots \quad (3-3)$$

$$\Delta_2 = \begin{vmatrix} h_1 & h_2 \\ h_3 & h_4 \end{vmatrix} > 0 \quad \dots \dots \dots \quad (3-4)$$

$$\Delta_1 = \begin{vmatrix} h_1 \end{vmatrix} > 0 \quad \dots \dots \dots \quad (3-5)$$

위의 式에서 $h_1 = (T_1 \cdot T_2 + T_1 \cdot T_3 + T_1 \cdot T_4)$

$$h_2 = (1 + T_5 \cdot T_p \cdot T_3 + T_5 \cdot T_p \cdot T_d)$$

$$h_3 = T_1 \cdot T_2 \cdot T_4$$

$$h_4 = (T_1 + T_2 + T_3 + T_5 \cdot T_p \cdot T_3 \cdot T_d)$$

$$h_5 = T_5 \cdot T_p$$

이다.

式 (3-2), (3-3), (3-4), (3-5)를 使用하여 第1表의 各船舶들에 對해서 安定度를 滿足하는

對值中 最大値를 db 로 表示한 것으로 特히 變針時의 船舶自動操舵系의 境遇처럼 系가 Unity feedback system인 때에는 Open loop transfer function의 周波數應答 $G(j\omega)$ 의 Vector軌跡을 Nichols線圖에 圖示함으로써 直接 M_p 值를 얻을 수 있는 利點이 있다.

→一般的으로 M_p 值는 1.1~1.6(db) 程度이면 系는 安定하다고 할 수 있으나 充分한 安定度를 가지기 위해서는 $M_p=1.3(db)$ 이 가장 바람직한 值이다. 따라서 船舶自動操舵系의 各 調整係數에 對한 $G(j\omega)$ 의 Vector 軌跡을 Nichols線圖에 그려서 $M_p=1.3$ 曲線에 接하는 軌跡의 調整係數值를 읽으면 이것이 바로 最適值가 될 것이다. 이렇게 하면 모든 調整係數들에 對해서 일일히 Vector 軌跡을 그려야 하므로 매우 複雜하다. 그러므로 調整係數 T_p, T_d 項이 $G(j\omega)$ 에 미치는 영향을 調査하고 基準이 되는 Vector軌跡에서 그 영향을 考慮하여 $M_p=1.3$ 曲線에 接하는 調整係數를 찾는다면 容易하게 最適值를 求할 수 있을 것이다.

T_p 와 T_d 項이 $G(j\omega)$ 에 미치는 영향을 考察해 보면 T_p 는 Phase angle에는 關係없이 Gain에만 영향을 미치고 T_d 項은 主로 Phase angle에만 關係하여 Gain에 미치는 영향은 無視할 程度이다. (即 周波數, ω 를 0.01~0.1, T_d 를 1~5까지 變化시킬 때에 T_d 項, $1+j\omega \cdot T_d$ 의 Gain은 0.043~0.97(db) 程度이다)

이러한 關係를 利用하여 T_p 가 1~4로 變할 때에 그 각각에 대하여 T_d 를 0~5까지 變化시켜서 T_d 項의 變化가 $G(j\omega)$ 의 Phase margin에 미치는 變化量을 Templator와 Bode線圖에 依해 求하고 T_d 의 變化量으로 나누어서 T_d 의 單位變化量에 對한 $G(j\omega)$ 의 Phase margin의 平均(位相角) 變化量을 求하면 第2表와 같다.

第2表

比例調整係數 T_p	T_f	C_f	C_b
	T _d 의 單位變化量이 phase margin에 미치는 平均位相角의 變化量		
1	1.7°	2.3°	3.0°
2	2.5°	3.5°	4.4°
3	2.9°	4.3°	5.3°
4	3.2°	5.2°	5.6°

一例로, C_b 船의 $T_p=1, T_d=0$ 인 境遇에, $M_p=1.3$ 인 曲線에 接하도록 하는 데에 必要한 位相角의 變化量은 12.5°이고 第2表에 依하면 그 變化量에 該當하는 T_d 의 值는 大略 5로서 $T_p=1, T_d=5$ 가 最適值이다.

第3表

T_p	T_d		
	T_f	C_f	C_b
1	6	5	—
2	6	5	—
3	6	5	0
4	6	5	1

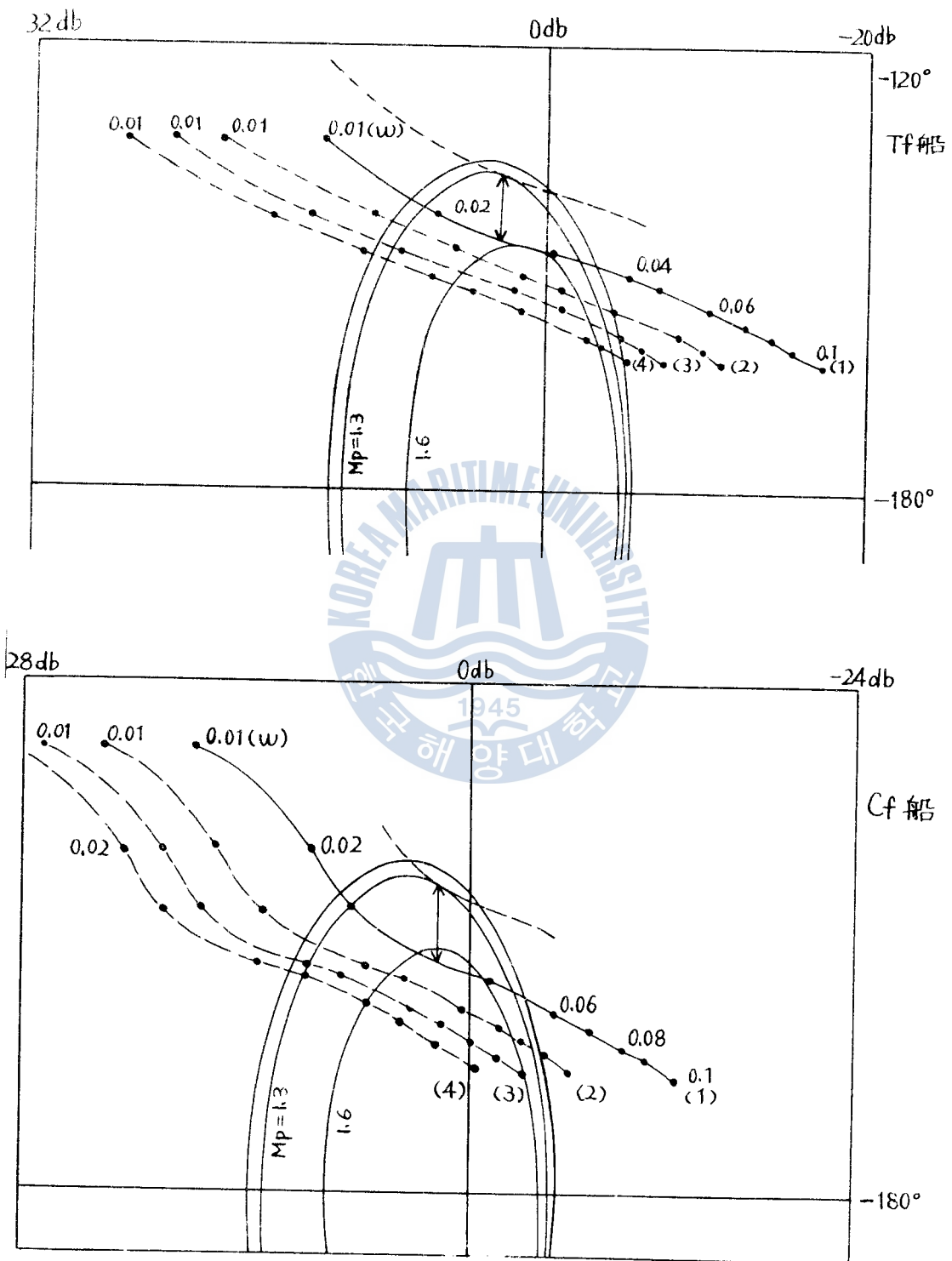
〈3·3·2〉 Digital Computer에 依한 最適值의 計算

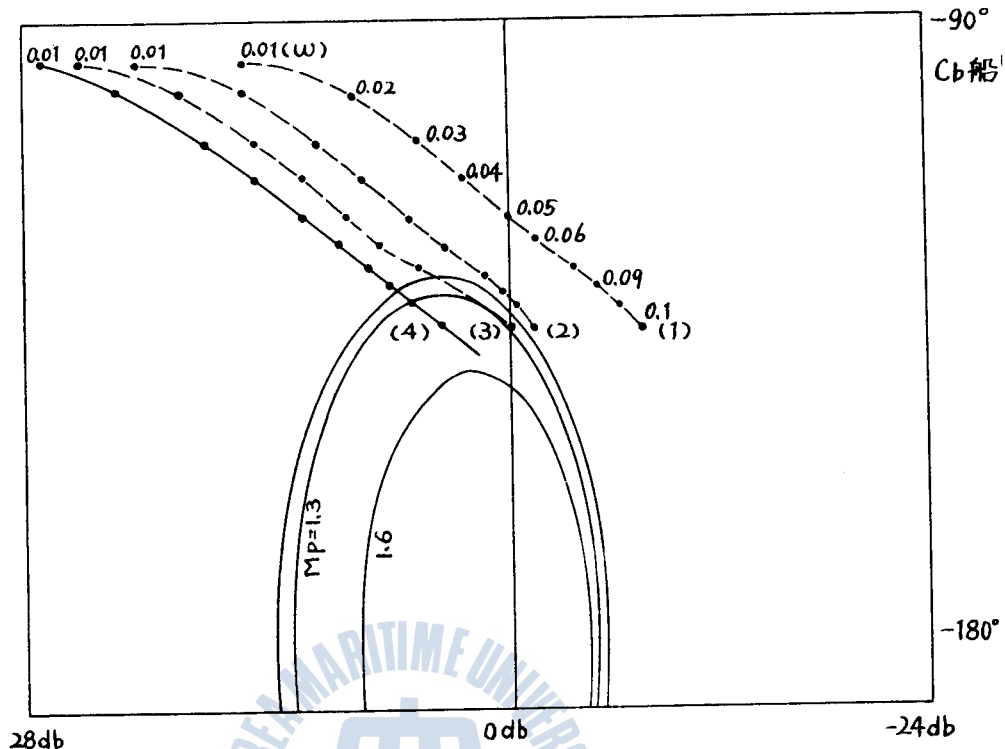
따라서 $T_p=1, 2, 3, 4, T_d=0$ 인 境遇의 $G(j\omega)$ 의 Vector軌跡을 Nichols線圖에 그리고 이 軌跡들을 基準으로 하여 基準 Vector 軌跡들을 $M_p=1.3$ 曲線에 接하도록 平行移動한 後 그에 相應하는 位相角變化量을 調査하고, 第2表를 使用하면 最適值의 組合을 簡單하게 求할 수 있다.

T_f, C_f, C_b 船에 있어서 第1表에 例示한 積貨狀態下의 $T_p=1, 2, 3, 4, T_d=0$ 인 境遇의 Vector軌跡은 第2圖와 같다

同一한 方法으로 各船舶의 最適值를 求하면 第3表와 같다. 各船舶은 第1表의 積貨狀態下에서는 第3表의 最適值中에서 適當한 것을 選擇함으로써 充分히 安定한 狀態의 變針을 할 수가 있다.

〈3·3·1〉에서는 第1表에 주어진 積貨狀態에 對한 最適值를 Nichols線圖에서 求했으나 船舶의 積貨狀態는 恒常一定하다고 할 수 없으며 積貨狀態가 變함에 따라 操縱性能指數들도 이에 相應해서 變하게 된다. 그러므로 積貨狀態의 變화에 따라 주어지는 세로운 操縱性能指數들을 使用하여 每境遇





第 2 圖

$T_p = 1(1)^+, 2(2), 3(3), 4(4)$, $T_d = 0$ 인 境遇의 各船舶의 Vector 軌跡

에 對한 最適值를 Nichols 線圖에서 求해야 할 것이나 이러한 計算에는 많은 時間과 努力이 必要하므로 計算機를 使用하여 M_p 值의 定義에서 直接 每 境遇에 對한 M_p 值를 求해서 等 $M_p = 1.3$ 曲線을 그리면 쉽게 最適值의 組合을 얻을 수 있다.

船舶自動操舵系의 Closed loop transfer function의 周波數應答은 $C(j\omega) = \frac{G(j\omega)}{1+G(j\omega)}$ 이므로, db로 표시하면

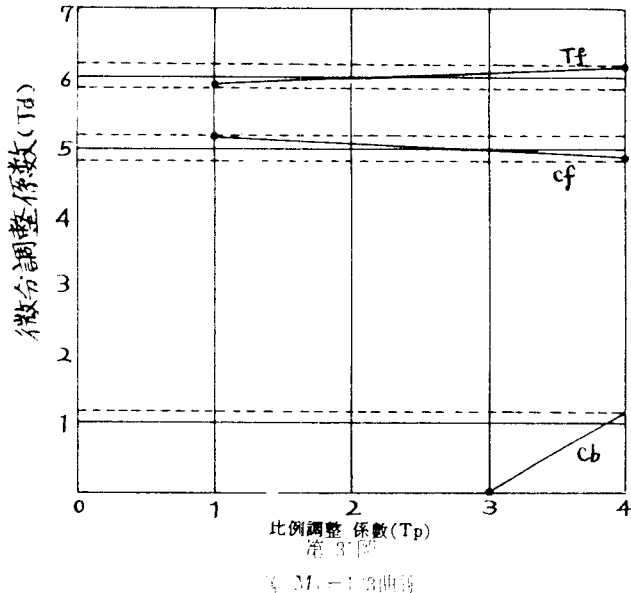
$$20 \log|C(j\omega)| = 20 \log|G(j\omega)| - 20 \log|1+G(j\omega)| \quad \dots \dots \dots \quad (3-9)$$

로 되고 이것을 $T_p = 1 \sim 4$ (0.1의 간격으로 變化시킴)의 각각에 對해 $T_d = 1 \sim 30$ (0.1의 간격으로 變化시킴), $\omega = 0.01 \sim 0.4$ (0.0001의 간격으로 變化시킴)로 變化시켜서 每調整係數의 組合에 對한 M_p 值를 求하도록 Programming을 하고 第1表를 data로 하여 求한 M_p 值들을 整理하여 等 $M_p = 1.3$ 曲線을 그리면 第3圖와 같다.

Nichols 線圖에 依해서 最適值를 求할 때에는 T_d 項이 gain에 미치는 영향이 너무 작아서 이를 無視하고 또한 T_d 의 變化에 對한 位相角의 變化量을 不均해서 使用했기 때문에 第3圖의 結果와는 若干의 差異가 있으나 實際로 最適調整을 行하는 데에 있어서는 T_d 值를 0.1單位로 區分해서 調整을 行하는 것이 거의 不可能하므로 現用自動操舵機에 實用하는 데에는 全히 支障이 없을 것이다.

第3圖는 $M_p = 1.3$ 이 되는 모든 調整係數의 組合을 表示한 것으로 簡單하게 最適值를 求할 수 있고 $M_p = 1.3$ 을 滿足하는 T_d 의 範圍(點線으로 表示)를 明確히 求할 수 있다.

+ () 속의 數字는 第2圖中の () 속의 數字를 表示한다.



여기서 자동操舵系의 주요한 조건은 $M_f = 1.3$ 이다. 그러면 각船舶에선 적용되는 T_f 의 최적화 조건은 각船舶의 自動操舵機의 작동時間에서 각船舶의 特性에 따른 T_f 의範圍를 구해 자동操舵機가 작동할 수 있다.

예상하는 조건과 가능한다면 T_f 에對調할 때,同一의 理論을適用할 수 있을 것이다.

T_f , C_f , C_b 에 대한, 주어진 貨物状況下에 대응하는 $M_f = 1.3$ 조건을 滿足하는 微分調整係數의範圍는 $T_p > 1 \sim 4$ 로, 여기에 T_f 는 $5.5 \sim 6.5$, C_f 는 $4.5 \sim 5.5$, C_b 는 $4 \sim 3.5$ 이 $0 \sim 1.5$ 이다.

4. Simulator에 依한 過渡應答波形의 檢討

<序 言>

船舶이 総海中 船舶自動操舵系의 球針式(希望針路: θ_i)을 加했을 때에 나타내는 過渡應答의 波形을 檢討함으로써 系의 安定度를 調査할 수 있다.

外因 후 短時間內에 船舶自動操舵系의 基本方程式은

$$\begin{aligned} \theta_i(s) &= \frac{G(s)}{1+G(s)} \cdot \theta_i(s) \\ &= \frac{T_d \cdot T_p \cdot (1+T_f s) \cdot (1+T_d s)}{s \cdot (1+T_f s) \cdot (1+T_d s) \cdot (1+T_i s) + T_d \cdot T_p \cdot (1+T_f s) \cdot (1+T_d s)} \cdot \theta_i(s) \end{aligned}$$

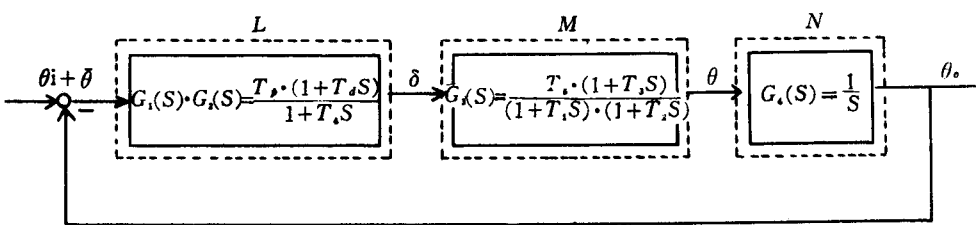
가 된다.

이式은 Step function의 式인 $\theta_i(s) = 1/s$ 에, (4-1)式의 特性方程式의 根을 求함으로서 過渡應答의 解析을 計算하는 計算을 完成으로는 거의 不可能外다. analog computer를 使用하여 船舶自動操舵系의 Simulator를 建立하는 Simulator에 通して 過渡應答波形을 檢討하는데, 그 과정은 後述의 4.1節에 依한 것이다.

4.1 船舶自動操舵系의 Simulator

船舶自動操舵系의 Simulator를 便利하게 作成하기 위해서 第1圖을 若干 變形하면 第4圖와 같은

示할 수 있다



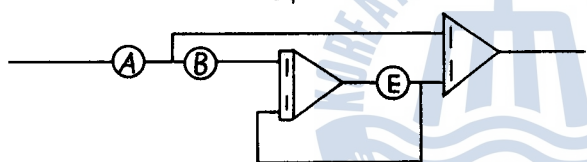
第 4 圖

船舶自動操舵系의 傳達要素들을 自動操舵機과 操舵機, 船舶, Compass의 세 部分으로 區分하여 각各 L, M, N 이라 代稱하고 各部分에 對하여 Simulation을 行하면,

L 部分에서의 傳達函數는

$$G_1(S) \cdot G_2(S) = \frac{T_s \cdot (1 + T_d \cdot S)}{1 + T_i \cdot S} = \frac{T_s \cdot T_d}{T_i} \cdot \left(1 + \frac{T_i/T_d - 1}{1 + T_i \cdot S}\right) \quad \dots \dots \dots (4-2)$$

로 變形할 수 있고, $\frac{T_s \cdot T_d}{T_i} = A, (T_i/T_d - 1) = B, 1/T_i = E$ 라 두면 L 部分의 Simulation은 第5圖로 된다.



第 5 圖

係數 B 는 T_d 의 值에 따라서 負의 値을 取할 수도 있으므로 이 點을勘案하여 符號 變換器를 使用해야 할 것이다.

특히 $T_d=0^\circ$ 되는 境遇에는 L 部分의 傳達函數는

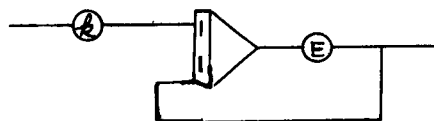
$$G_1(S) \cdot G_2(S) = \frac{T_s}{1 + T_i \cdot S} \quad \dots \dots \dots (4-3)$$

로 되어 $T_s = K$ 라 두면

Simulation은 第6圖로 된다.

M 部分에서의 傳達函數는

$$\begin{aligned} G_3(S) &= \frac{T_s \cdot (1 + T_i \cdot S)}{(1 + T_i \cdot S) \cdot (1 + T_s \cdot S)} \\ &= \frac{T_s \cdot T_i}{T_i} \cdot \left(1 + \frac{T_i/T_s - 1}{1 + T_i \cdot S}\right) \cdot \left(\frac{1}{1 + T_s \cdot S}\right) \quad \dots \dots \dots (4-4) \end{aligned}$$

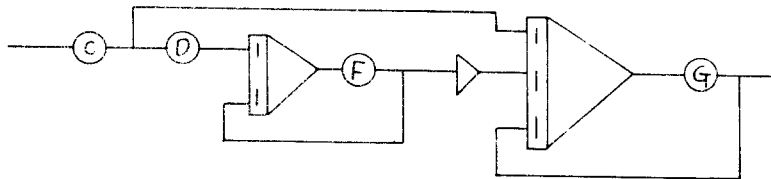


第 6 圖

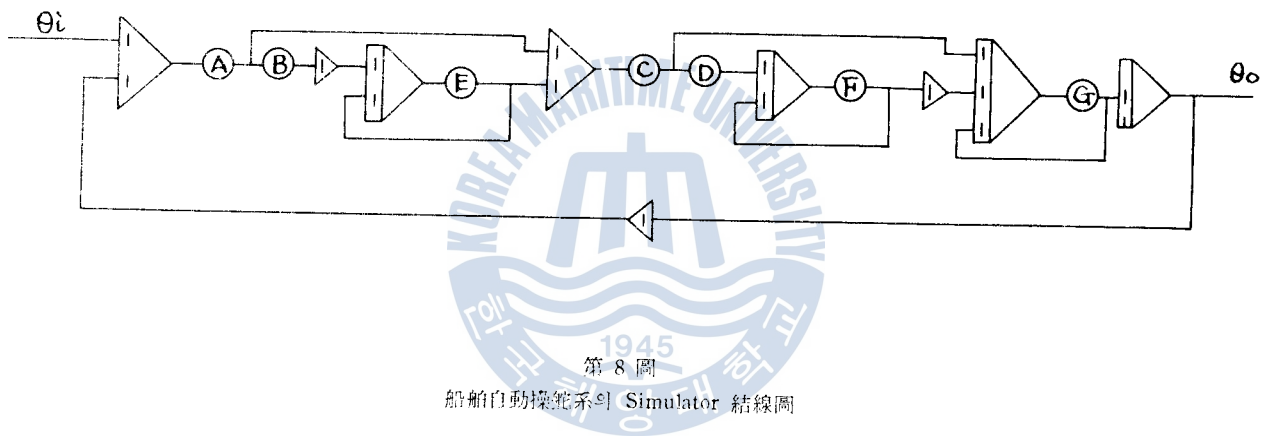
로 變形할 수 있고, $\frac{T_s \cdot T_i}{T_i} = C, (T_i/T_s - 1) = D, 1/T_i = F, 1/T_s = G$ 라 두면 M 部分의 Simulation은 第7圖로 된다.

그리고 N 部分은 單純한 積分이므로 積分器를 하나 使用하면 될 것이다.

위의 Simulation을 綜合하여 T_s, C, G , 船의 境遇의 係數值, A, B, C, D, E, F, G 를 計算하고 이 值들에 依해서 符號變換器와 倍數值를 適當히 使用하여一般的인 境遇의 船舶自動操舵系의 Simulator를 作成하면 第8圖와 같다.



第 7 圖

第 8 圖
船舶自動操舵系의 Simulator 結線圖

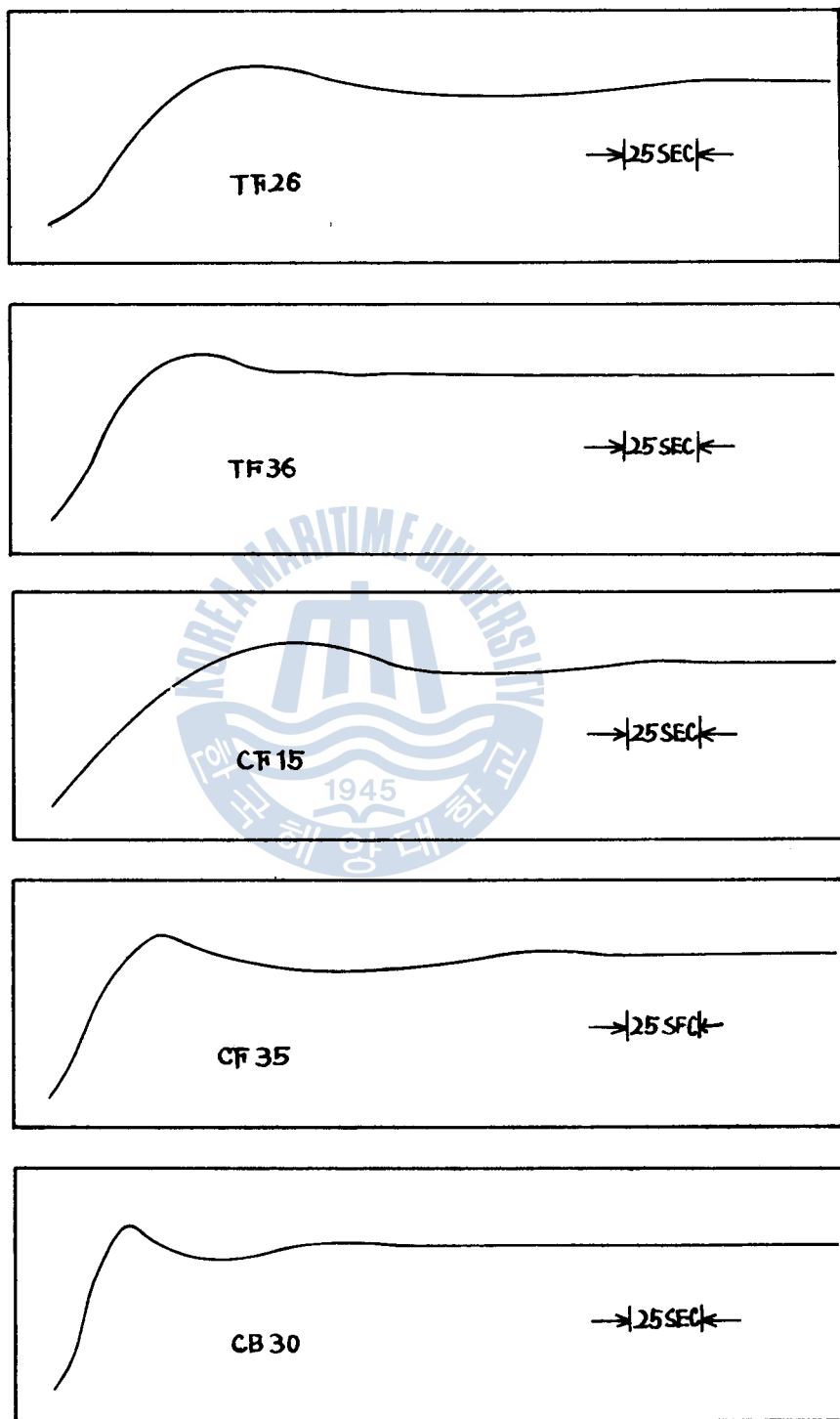
〈4·2〉 最適值에 對한 過渡應答波形의 檢討

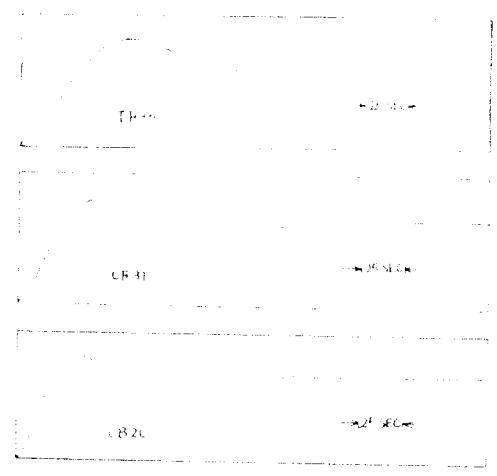
第8圖에 図示한 船舶自動操舵系의 Simulator를 使用하여 各 船舶의 最適值에 對한 過渡應答波形과 最適值가 아닌 調整係數에 對한 過渡應答波形을 求하여 第9圖에 보였다.

T_p 船에 있어서, 最適值 $T_p = 2, 3, T_d = 6$ 과 任意의 値 $T_p = 3, T_d = 5$ 인 境遇의 過渡應答波形을 比較하면 $T_p = 3, T_d = 5$ 인 境遇가 最適值의 境遇보다 最大 Overshoot의 量이 크고, 希望針路로 正確히 走아 들어가는 데에 所要되는 時間이 많음을 알 수 있고, C_p 船의 最適值 $T_p = 1, 3, T_d = 5$, 와 任意의 値 $T_p = 3, T_d = 1$ 인 境遇에 있어서도 T_p 船과 同一한 結論을 내릴 수 있다.

C_p 船에 있어서는 最適值 $T_p = 3, T_d = 0$ 인 境遇는 任意의 値 $T_p = 2, T_d = 0$ 인 境遇와 最大 Overshoot의 量은 비슷하나 減衰性이 굉장히 좋아서 훨씬 短時間內에 希望針路로 走아 들어감을 알 수 있다.

따라서 第9圖의 全波形은 모두 最大 Overshoot의 量이 人力值의 22% 以内이고 모두 安定한 波形을 보이고 있으며, 特히 最適值의 境遇에는 다른 境遇보다 短時間內에 希望針路로 固定되므로 變針時의 振動으로 增加되는 不必要한 航路의 延長을 最小限度로 줄이고 있다.





第 3 図 船舶操縦装置の実験装置

5. 結論

船舶操縦装置の直角螺旋槳操縦装置の理論と実験結果は、従来の操縦装置の理論と実験結果とよく一致する。直角螺旋槳操縦装置は、操縦装置の操作角度を増加しても操縦装置の操作感度が減る傾向がある。また、操縦装置の操作感度は、操縦装置の操作角度によっては、操縦装置の操作感度が増す場合がある。操縦装置の操作感度は、操縦装置の操作角度によっては、操縦装置の操作感度が増す場合がある。

以上が現実的な直角螺旋槳操縦装置の操縦感度である。 $M_r = 1.3$ の場合、垂直螺旋槳操縦装置の操縦感度は、操縦装置の操作角度によっては、操縦装置の操作感度が増す場合がある。

記号説明

$\hat{\theta}$: 旋回角速度 (rad/sec)

$\hat{\theta}_r$: 直角螺旋槳操縦装置の旋回角速度

$\hat{\theta}_{\alpha}$: 直角螺旋槳操縦装置の旋回角速度

$d\hat{\theta} / dt$: 旋回角速度

$\hat{\theta}^2$: 旋回角速度の二乗

T_{α}

T_r : 機械的時間定数 (mechanical time constant)

T_s : 機械的時間定数 (mechanical time constant)

$\frac{1}{T_s}$: 機械的時間定数 ($-3\pi \sim 5\pi$) (rad/sec) 直角螺旋槳操縦装置の機械的時間定数 $\frac{d\hat{\theta}}{dt}$ の時間定数 ($-3\pi \sim 5\pi$) (rad/sec)

T_e : 電子的時間定数 (electronic time constant)

- θ_o : 實針路
 θ_i : 希望針路(入力針路)
 T_p : 自動操舵機의 比例調整係數
 T_d : 自動操舵機의 微分調整係數
 $\theta(S) = L[\theta(t)]$
 $\Delta(S) = L[\delta(t)]$
 $\theta_o(S) = L[\theta_o(t)]$
 $\bar{\theta}(S) = L[\bar{\theta}(t)]$
 $\Delta_o(S) = L[\delta_o(t)]$
 $\bar{\theta} = \theta_i - \theta_o$
 $G_1(S)$: 自動操舵機의 傳達函數
 $G_s(S)$: 操舵機의 傳達函數
 $G_b(S)$: 船舶의 傳達函數
 $G_c(S)$: Compass의 傳達函數
 $G(S)$: 船舶自動操舵系의 Open loop transfer function
 $C(S)$: 船舶自動操舵系의 Closed loop transfer function
 $G(j\omega)$: $G(S)$ 의 周波數應答
 $C(j\omega)$: $C(S)$ 의 周波數應答
 $\Delta_1, \Delta_2, \Delta_3, \Delta_4$: Hurwitz stability criterion에서 定義되는 行列式의 記號
 $A = \frac{T_p \cdot T_d}{T_s}$
 $B = (T_s / T_d - 1)$
 $E = 1/T_s$
 $K = T_s$
 $C = \frac{T_p \cdot T_s}{T_s}$
 $D = (T_s / T_s - 1)$
 $F = 1/T_s$
 $G = 1/T_s$

參 考 文 獻

- 野本謙作：“自動操舵の安定性に就いて”，日本造船協會論文集 第104號，1958.
- 野本謙作，田口賢士，本田啓之輔，平野 進：“船の操縦性に就いて”，日本造船協會論文集 99號，1957.
- 前畠幸彌，米澤弓雄：“自動操舵の調整に關する理論的研究”，日本海技大學研究報告 第7號，1962.
- L. J. RYDILL: “A Linear theory for the steered motion of ships in waves”, T. I. N. A., 1950.
- I. SCHIFF and M. GIMPRICH: “Automatic steering of ships by proportional control”. Trans. S. N. A. M. E.. 1949.
- A. WELPTER: “Future requirements for autopilots at sea”. Inst. of Nav., 1968.
- THALER and BROWN: Analysis and Design of Feedback Control Systems, McGraw Hill Book Co., Ltd. 1960. pp. 209-229.
- 前畠幸彌：“自動操舵の研究に關する最近の動向”，航海(特別號)，1968.
- 元良誠三：船體運動力學，共立出版株式會社，1967, pp. 55-56.
- 若山伊三雄：アナログ計算入門，ゴロナ社，1966, pp. 91-99.
- 礪部孝：サボおよび自動操縱操作，共立出版株式會社，1961, pp. 153-164.